



علوم محیطی  
علوم محیطی

علوم محیطی سال هفتم، شماره چهارم، تابستان ۱۳۸۹  
ENVIRONMENTAL SCIENCES Vol.7, No.4, Summer 2010

۱۴۲-۱۲۹

## پنهانی خطر زمین‌لغزش با استفاده از اپراتور فازی گاما (مطالعه موردی: حوزه آبخیز هراز)

حمیدرضا مرادی<sup>۱\*</sup>، حمیدرضا پورقاسمی<sup>۱</sup>، مجید محمدی<sup>۱</sup>، محمدرضا مهدوی‌فر<sup>۲</sup>

- ۱- گروه مهندسی آبخیزداری، دانشکاه متابع طبیعی، دانشگاه تربیت مدرس مازندران، نور.
- ۲- دانشجوی دکترای گروه مهندسی آبخیزداری، مازندران، نور، دانشکده متابع طبیعی، دانشگاه تربیت مدرس
- ۳- بخش زمین‌لغزش، پژوهشگاه بین‌المللی زلزله شناسی و مهندسی زلزله.

### Landslide Hazard Zoning using Gamma Fuzzy Operator, with a Case Study of Haraz Watershed

Hamid Reza Morady<sup>1\*</sup>, Hamid Reza Pourghasemi<sup>1</sup>,  
Majid Mohammadi<sup>2</sup>, Mohammad Reza Mahdavifar<sup>1</sup>

- 1- Department of Watershed Management Engineering, Faculty of Natural Resources and Marine Sciences, Tarbiat Modares University
- 2-PhD. Student, Department of Watershed Management Engineering, Faculty of Natural Resources and Marine Sciences, Tarbiat Modares University
- 3- Landslide Section, International Institute of Earthquake Engineering and Seismology (IIEES).

#### Abstract

Research aimed at showing element weight used fuzzy sets because of the limitation on the use of numbers. The benefit of this theory includes the range of numbers with an accompanying possibility of the degree of landslide that can be used instead of one number. Thus, when the fuzzy collections theory is used for presenting weight factor, certainly a number is cannot determined for weight, but the only possible correct numbers provided more than other numbers may be close to correct its intended. The aim of this study was to supply landslide hazard zoning using gamma fuzzy operator in Haraz watershed. To achieve this objective, each factor having an impact on landslide occurrence - such as slope, aspect, elevation, lithology, land use, distance of road, distance of drainage, distance of fault and precipitation - were digitally mapped in a GIS environment. Landslide points were recognized using air photography and extensive field study and the level of correlation between each effective parameter in landslide occurrence with landslide points was determined using the frequency ratio model; fuzzy values were then determined using scientific ideas and a fuzzy membership function was obtained for each effective parameter in an Idrisi software environment. In this research for analysis we used different values of gamma. The results showed a gamma fuzzy operator with value  $\lambda = 0.975$  had best accuracy in making a landslide hazard susceptibility map in study area.

**Keywords:** Landslide zoning, Fuzzy theory, Membership function, Gamma fuzzy operator, Frequency ratio, GIS, Haraz watershed.

#### چکیده

محدودیت استفاده از اعداد محققین را بر آن داشته که از مجموعه‌های فازی برای بیان وزن عوامل استفاده کنند. مزیت این تئوری در آن است که به جای یک عدد، دامنه‌ای از اعداد با درجه امکان مشارکت در لغزش در نظر گرفته می‌شود. لذا هنگامی که از تئوری مجموعه‌های فازی برای بیان وزن عوامل استفاده می‌شود به طور قطع و یقین یک عدد به عنوان وزن تعیین نمی‌گردد، بلکه تنها امکان صحیح بودن عدد ارائه شده بیش از امکان صحیح بودن سایر اعداد نزدیک به آن در نظر گرفته می‌شود. هدف از این تحقیق تهیه نقشه پنهانی خطر زمین‌لغزش با استفاده از اپراتور فازی گاما در حوزه آبخیز هراز می‌باشد. به این منظور هر یک از عوامل موثر بر وقوع زمین‌لغزش در منطقه مورد مطالعه از قبیل نقشه شبیه، جهت شبیه، ارتفاع، لیتوژئی، کاربری اراضی، فاصله از جاده، فاصله از شیکه آبراهه، فاصله از گسل و نقشه همباران منطقه شناسی و در محیط GIS رقومی گردیدند. نقاط لغزشی با استفاده از عکس‌های هوایی و بازدیدهای میدانی شناسایی و سطح همبستگی هر یک از عوامل موثر بر وقوع زمین‌لغزش و نقاط لغزشی با استفاده از مدل نسبت فراوانی (Frequency ratio) مشخص و سپس مقادیر فازی با استفاده از نظرات کارشناسی و تعیین توابع عضویت برای هر یک از عوامل موثر در محیط نرم افزار Idrisi تعیین گردید. مقادیر مختلفی از گاما جهت آنالیز مورد استفاده قرار گرفت به طوری که نتایج نشان داد، اپراتور فازی گاما با مقدار  $\lambda = 0.975$  بیشترین دقت را در تهیه نقشه حساسیت به خطر زمین‌لغزش در منطقه مورد مطالعه دارد.

کلید واژه‌ها: پنهانی زمین‌لغزش، تئوری فازی، توابع عضویت، اپراتور فازی گاما، نسبت فراوانی، سامانه اطلاعات جغرافیایی، حوزه آبخیز هراز.

\* Corresponding author. E-mail Address: Morady5hr@yahoo.com

## مقدمه

روش همواره با یک محدودیت عمدی روبرو می‌گردد. این محدودیت که ناشی از خواص ذاتی اعداد می‌باشد، ارزش مطلق هر عدد است. اگر وزن یک عامل را یک و وزن عامل دیگری دو فرض شود، عملاً تاثیر عامل دوم، دو برابر عامل اول در نظر گرفته شده است. به عنوان مثال اگر در یک منطقه به عامل زمین‌شناسی وزن چهار و به عامل شیب وزن یک اختصاص یابد، بدون در نظر گرفتن هیچ‌گونه خطای در این قضاوت، تاثیر عامل زمین‌شناسی چهار برابر عامل شیب دامنه در نظر گرفته شده است. این کار کاملاً دور از واقعیت بوده و با احتمال خطای زیاد همراه است (Mahdavifar and Fatemi Aghda, 2002). محدودیت استفاده از اعداد، برخی محققین (Binaghi *et al.*, 1998; Ercanoglu and; Pistocchi *et al.*, 2002; Chi *et al.*, 2002; Ercanoglu and Gokceoglu, 2002; Tangestani, 2003 Schernthanner, Zhu *et al.*, 2004; Gokceoglu, 2004; Gorsevski *et al.*, 2006; Champati *et al.*, 2007 2005; Lee, 2007) را بر آن داشت که از مجموعه‌ها برای بیان وزن عوامل طبیعی استفاده کنند. مزیت مجموعه‌ها این است که به جای یک عدد، دامنه‌ای از اعداد با احتمالات به کار گرفته می‌شوند. لذا هنگامی که از مجموعه برای بیان وزن یک عامل استفاده می‌شود به طور قطع و یقین وزن آن عامل تعیین نمی‌گردد بلکه فقط احتمال صحیح بودن وزن ارائه شده بیش از احتمال صحیح بودن سایر اعداد نزدیک به آن در نظر گرفته می‌شود (Ashghali Farahani, 2002). نتایج حاصله از تحقیقات انجام شده نشان داده که استفاده از مجموعه‌های فازی به دلیل در نظر گرفتن محدوده‌ای از احتمالات به جای اعداد، محدودیت روش‌های کمی را برطرف ساخته و تحلیل دقیق‌تری از نقش عوامل طبیعی نسبت به سایر روش‌های کمی ارائه کرده است. به این ترتیب، دقت بیشتری در پیش‌بینی وقوع حوادث طبیعی از جمله زمین‌لغزش‌ها دارد. این تحقیق در بخشی از حوزه آبخیز رود هراز در حد فاصله امامزاده علی تا روستای وانا اجرا

در وقوع هر پدیده طبیعی ممکن است یک یا چند عامل دخیل باشند که هر یک از آنها نقش معینی ایفا می‌کنند؛ لذا همواره جهت محاسبه احتمال وقوع یک پدیده باستی عوامل ایجاد‌کننده آن را شناسایی نمود. اگر عوامل به درستی شناسایی نشوند، نقش آنها در محاسبه احتمال وقوع پدیده در نظر گرفته نشده و نتیجه قابل اطمینان نخواهد بود. زمین‌لغزش، همچون سایر پدیده‌های طبیعی نتیجه حضور و تاثیر متقابل عوامل گوناگون است. برای پنهان‌بندی خطر زمین‌لغزش یک منطقه، در ابتدا باستی میزان تاثیر هر یک از عوامل در وقوع آن تعیین گردد، اما برای رسیدن به این هدف محدودیت‌های وجود دارد که مهم‌ترین آنها کیفی بودن عوامل در نظر گرفته شده می‌باشد (Mahdavifar, 1996). در بسیاری از موارد مهندسین طراح نیاز به برآورده کمی از پتانسیل خطر زمین‌لغزش دارند و داده‌های کیفی به دلیل مبهم بودن و انعطاف ناپذیری تفسیر آنها، در کارهای طراحی قابل کاربرد نیستند. جنس مصالح، شیب دامنه، کاربری اراضی، بارندگی، زلزله و غیره از جمله عوامل موثر در لغزش هستند. اکثر این عوامل کیفی بوده و با معیارهای کمی سنجیده نمی‌شوند. برای پنهان‌بندی خطر زمین‌لغزش به روش‌های کمی نمی‌توان از مقادیر کیفی استفاده نمود لذا باید داده‌های کیفی حاصل از میزان تاثیر عوامل مختلف (وزن عوامل)، به طریق مناسب به مقادیر کمی تبدیل گرددند. تاکنون محققین زیادی در صدد تبدیل عوامل کیفی موثر در زمین‌لغزش‌ها به مقادیر کمی برآمده‌اند. اغلب محققین اعداد مطلق را برای بیان وزن هر یک از عوامل انتخاب نموده‌اند. استفاده از اعداد مطلق برای بیان اهمیت نسبی، علاوه بر تبدیل عوامل کیفی به کمی، انجام محاسبات و نتیجه‌گیری‌ها را بسیار ساده و آسان می‌سازد. با این وجود، استفاده کننده از این

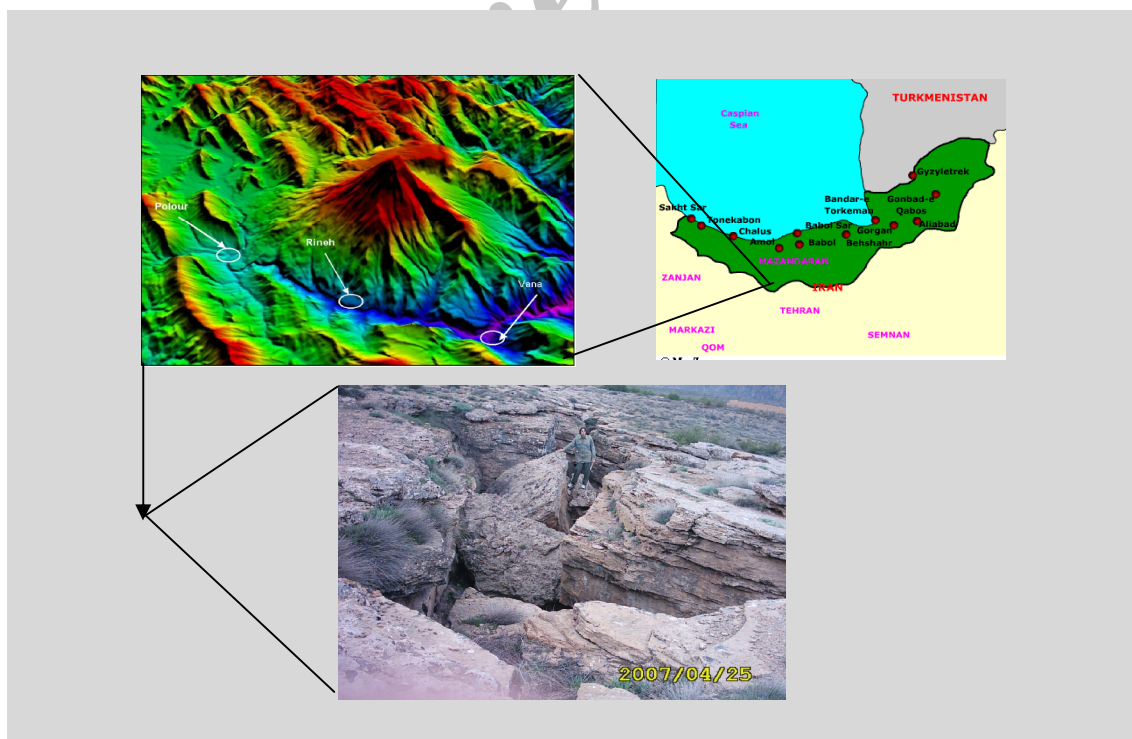
ارتباطی بین شهرهای آمل و تهران به مساحت ۱۱۴ کیلومترمربع می‌باشد. این منطقه در دو شیت نقشه توپوگرافی با مقیاس ۱:۵۰۰۰۰ قرار دارد. منطقه مورد مطالعه بین طولهای جغرافیایی  $38^{\circ} 39' 49''$  تا  $52^{\circ} 06'$  شرقی و عرضهای  $35^{\circ} 24' 17''$  تا  $35^{\circ} 57' 11''$  شمالی استقرار یافته است. ارتفاع بیشینه و کمینه منطقه مورد مطالعه به ترتیب ۳۲۹۰ متر و ۱۲۰۰ متر می‌باشد (شکل ۱). منطقه مورد مطالعه از طرف شمال به قله دماوند با ارتفاع ۵۶۷۱ متر و از جنوب به کوه قروچی با ارتفاع ۳۰۵۹ متر و از شرق به روستای وانا و از غرب به روستای پلور ختم می‌شود.

به منظور پنهان‌بندی خطر زمین‌لغزش در این تحقیق، نقشه‌های زمین‌شناسی منطقه در مقیاس ۱:۱۰۰۰۰ توپوگرافی در مقیاس ۱:۵۰۰۰۰، کاربری اراضی با استفاده از تصویر ماهواره‌ای ETM<sup>+</sup> سال ۲۰۰۲ و عکس‌های

گردید. حوزه آبخیز هراز به دلیل موقعیت جغرافیایی، ویژگی‌های طبیعی و زمین‌شناسی یکی از مناطق مستعد بروز حرکات توده‌ای است. رود هراز جزء مهم‌ترین و پرآب‌ترین رودهای استان مازندران بوده و از لحاظ اقتصادی به دلیل داشتن بیش از ۳۵ کارگاه پرورش ماهی و آبیاری مزارع در سطح جلگه دارای اهمیت زیادی است. تحقیق حاضر در صدد شناسایی و تعیین مناطق حساس به لغزش با استفاده از روش منطق فازی است تا با شناسایی این مناطق، اقدامات اجرایی برای کنترل در منطقه دارای سمت و سویی منطقی گردد و از اتلاف انرژی و سرمایه جلوگیری شود.

## مواد و روش‌ها

منطقه مورد مطالعه در استان مازندران در بخش مرکزی سلسله جبال البرز قرار دارد که خود بخشی از زیر حوزه رودخانه هراز می‌باشد. مقطع انتخابی بخشی از مسیر جاده



شکل ۱- موقعیت منطقه مورد مطالعه روی نقشه استان مازندران و نمونه‌ای از لغزش مشاهده شده در منطقه

مورد مطالعه با استفاده از اپراتورهای Product ، Sum و Bonham- ; An et al., 1991 Gamma تهیه گردید. (Lee, 2007; Chi et al., 2002; Carter, 1994).

$$\mu_{combination} = \prod_{i=1}^n \mu_i, \quad \text{رابطه ۲}$$

که در آن  $\mu_i$  تابع عضویت فازی می باشد. عملگر ضرب فازی (Product) درجه عضویت های یک موقعیت در نقشه های مختلف را در هم ضرب می کند. این عملگر باعث کاهش عضویت نهایی می شود و نتیجه آن تعلق وزن بسیار کوچکی به هر موقعیت است که در صورت زیاد بودن نقشه های ورودی این عدد به سمت صفر می کند.

$$\mu_{combination} = 1 - \prod_{i=1}^n \mu_i (1 - \mu_i) \quad \text{رابطه ۳}$$

با اعمال عملگر جمع فازی (Sum)، مقدار عضویت نهایی پیکسل ها در نقشه خروجی بزرگ شده، و در صورت زیاد بودن ورودی ها به سمت یک میل می کند. به دلیل بزرگ شدن وزن های موقعیت های نهایی، اثر این عملگر افزایشی است.

رابطه ۴

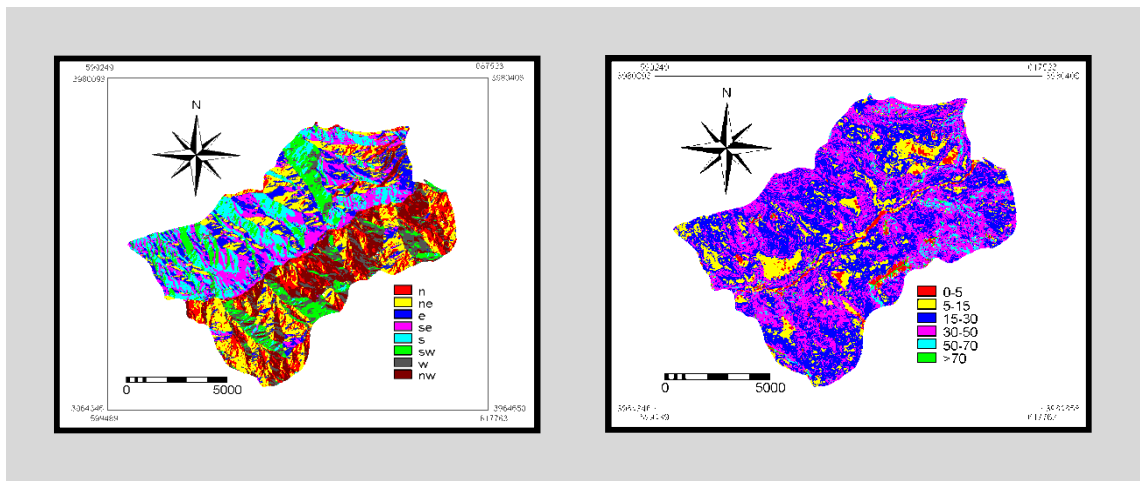
$$\mu_{combination} = (Fuzzy\ lg\ ebraic\ sum)^{\lambda} * (Fuzzy\ lg\ ebraic\ product)^{1-\lambda}$$

عملگر فازی گاما، حالت کلی روابط عملگرهای ضرب و جمع است و می توان با انتخاب صحیح مقدار گاما، پارامترهای کاهشی و افزایشی را همزمان تلفیق نموده، به مقادیری در خروجی ها دست یافت که حاصل ساز گاری قابل انعطاف میان گرایشات افزایشی و کاهشی دو عملگر ضرب و جمع فازی می باشند و  $\lambda$  متغیری بین صفر و یک است. در این تحقیق مقادیر مختلفی از تابع فازی گاما نظیر  $0.25, 0.05, 0.01, 0.005, 0.0005, 0.0001, 0.00005$  و  $0.00001$  (Lee, 2007) مورد استفاده قرار گرفت.

هوایی در مقیاس ۱:۵۰۰۰۰ از سازمان های مربوطه فراهم و نقشه های مذکور در محیط GIS رقومی گردید. با استفاده از عکس های هوایی منطقه، لغزش های اتفاق افتاده و مناطق مستعد و مشکوک به لغزش در منطقه شناسایی و از آنجا که بسیاری از لغزش ها به دلیل ابعاد کم یا ظاهری مشابه با دامنه های مجاور، در عکس های هوایی قابل تشخیص نیستند لذا برای تکمیل اطلاعات، تمامی لغزش های قابل دسترس مورد بازدید صحرایی قرار گرفتند. برای تعیین ارتباط زمین لغزش با عوامل موثر در وقوع آن و نیز تهیه نقشه پهنه بندی خطر زمین لغزش در منطقه، از واحدهای کاری به عنوان مبنا و پایه مطالعات استفاده گردید. نقشه واحدهای کاری با تلفیق عوامل مرغولوژی (شیب، جهت شیب و ارتفاع) بدست آمد. با استفاده از نرم افزار ILWIS، نقشه های عامل (شامل شیب، جهت شیب، ارتفاع، زمین شناسی، کاربری اراضی، فاصله از گسل، فاصله از آبراهه، فاصله از جاده و بارش) تهیه شده (شکل های ۲ الی ۱۰) و با نقشه پراکنش زمین لغزش تلفیق گردید. به این ترتیب تعداد زمین لغزش در هر واحد کاری به دست آمد. در مرحله بعد با استفاده از مدل نسبت فراوانی، وزن هر یک از عوامل و کلاس های مرتبط با آن از رابطه ۱ محاسبه گردید (Lee, 2007).

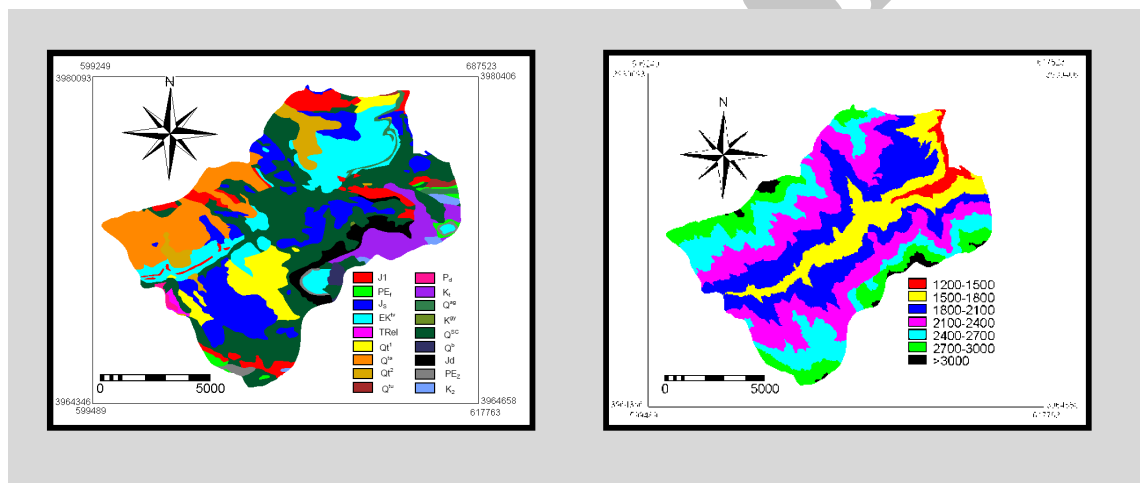
$$FR = A / B \quad (1)$$

که در آن: A: درصد پیکسل های لغزشی، B: درصد پیکسل های فاقد لغزش و FR: نسبت فراوانی است. به منظور تجزیه و تحلیل های فازی در ابتدا وزن های به دست آمده از روش نسبت فراوانی، نرمال سازی (بین صفر و یک) و وارد نرم افزار Idrisi شد. با انتخاب نوع و شکل تابع عضویت، هر یک از نقشه های مذکور فازی گردید. در این تحقیق از تابع عضویت J- شکل (Schernthanner, 2005; Zhu 2004) استفاده گردید. آنگاه با استفاده از رابطه های ۲ تا ۴ نقشه های خطر برای منطقه



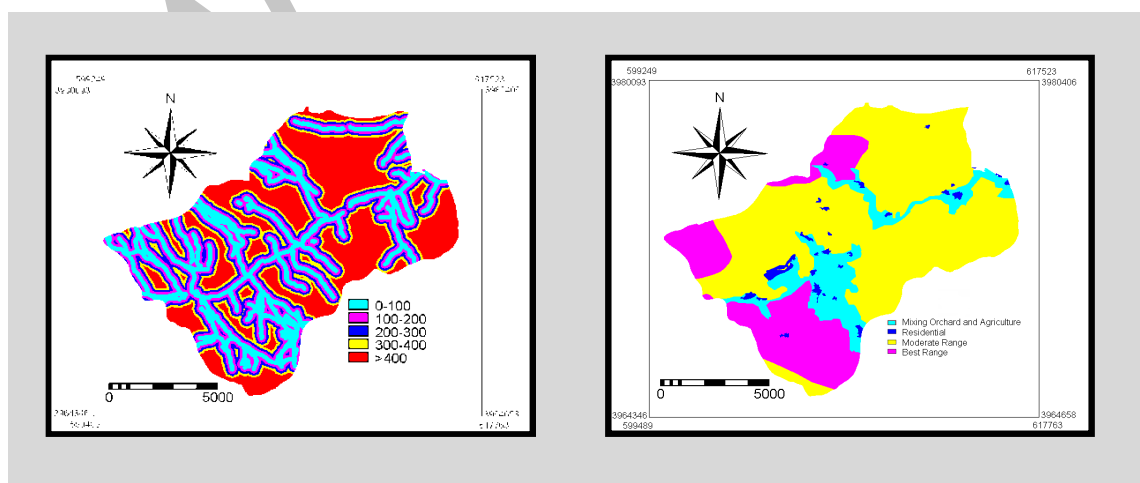
شکل ۳- نقشه جهت شب منطقه مورد مطالعه

شکل ۲- نقشه شب منطقه مورد مطالعه



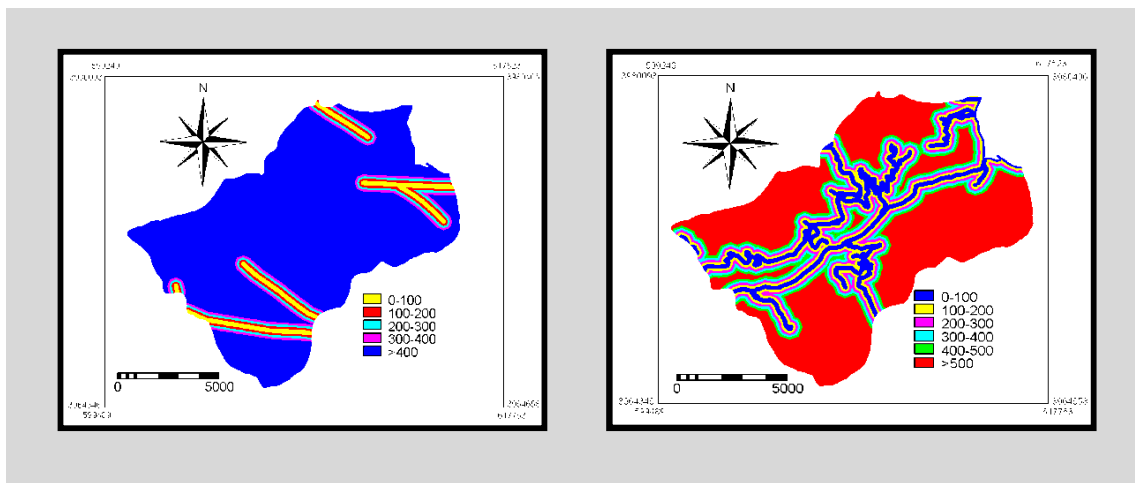
شکل ۵- نقشه لیتلورژی منطقه مورد مطالعه

شکل ۴- نقشه طبقات ارتفاعی منطقه مورد مطالعه



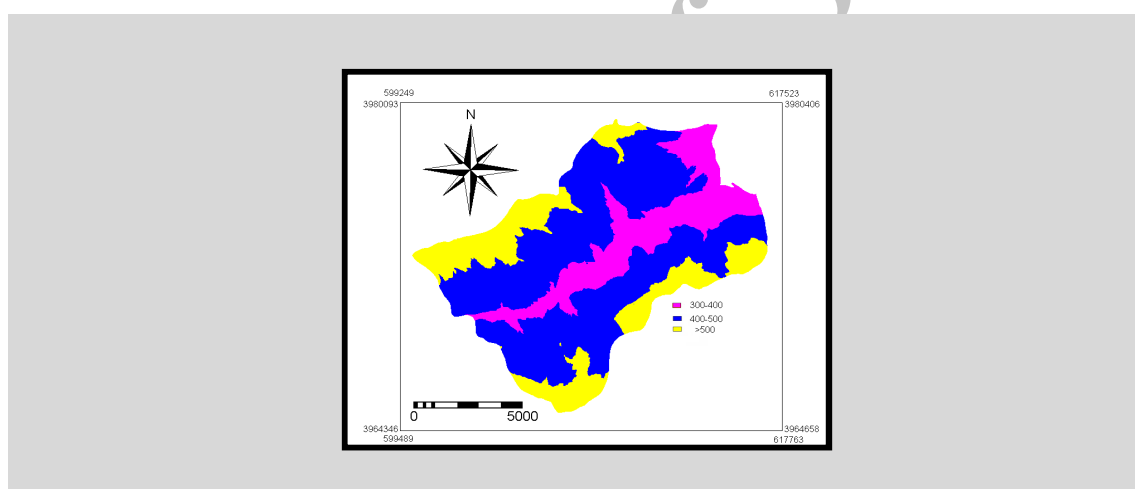
شکل ۷- نقشه حریم فاصله از آبراهه منطقه

شکل ۶- نقشه کاربری اراضی منطقه مورد مطالعه



شکل ۹- نقشه حریم فاصله از جاده منطقه مورد مطالعه

شکل ۸- نقشه حریم فاصله از جاده منطقه مورد مطالعه



شکل ۱۰- نقشه بارش منطقه مورد مطالعه

### ارزیابی روش پهنه‌بندی

نقشه پهنه‌بندی حرکات توده‌ای، از نقشه پراکنش حرکات توده‌ای حوزه استفاده کرد (Remendo *et al.*, 2003). جهت حل این مشکل از ۷۸ نقطه لغزشی که در منطقه شناسایی گردید ۲/۳ نقاط لغزشی (۵۵ نقطه لغزشی) برای مدل سازی و ۱/۳ نقاط لغزشی (۲۳ نقطه لغزشی) برای کالیبره کردن مدل استفاده گردید (Komac, 2006). سپس نقشه

در روش پهنه‌بندی خطر زمین لغزش با استفاده از اپراتور فازی گاما برای وزن دهی به لایه‌های مختلف اطلاعاتی از نقشه پراکنش حرکات توده‌ای منطقه استفاده شد. بعد از تهیه نقشه‌های وزنی بر اساس روابط مدل، نقشه پهنه‌بندی حرکات توده‌ای تهیه و سپس بر اساس روند تغییرات منحنی هیستوگرام طبقه‌بندی گردید. لذا نمی‌توان جهت ارزیابی

معمولًاً مقدار آن بین صفر تا هفت است. اختلاف بین مقادیر  $Q_s$ ، کمتر از  $1/10$  در نظر گرفته می‌شود و مقادیر با اختلاف کمتر از این مقدار تقریباً یکسان لحاظ می‌گردند. در واقع  $Q_s$  از جنس واریانس می‌باشد. انحراف مقادیر  $Dr$  از میانگین در پهنه‌های مختلف اگر به هم نزدیک باشند نشان‌دهنده آن است که تراکم زمین لغزش‌ها در کلاس‌های مختلف نزدیک به یکدیگر بوده و مقدار  $Q_s$  نیز پایین می‌باشد و اگر انحراف مقادیر  $Dr$  از میانگین در پهنه‌های مختلف زیاد باشد نشان‌دهنده آن است که تراکم زمین لغزش‌ها با یکدیگر تفاوت داشته و در نتیجه مقدار عددی  $Q_s$  بزرگ می‌گردد. بنابراین هر نقشه پهنه‌بندی که دارای  $Q_s$  بالاتر باشد دارای صحت و دقت بیشتری می‌باشد (Gee, 1991).

## نتایج

بررسی نتایج حاصل از مقادیر عضویت فازی و ارتباط بین عوامل موثر بر وقوع زمین لغزش و لغزش‌های رخداده در منطقه مورد مطالعه در جدول ۱ ملاحظه می‌گردد.

نقشه‌های خطر تهیه شده با اپراتور فازی گاما ( $0/025$  تا  $0/975$ ) پهنه‌بندی خطر زمین لغزش را در منطقه مورد مطالعه نشان می‌دهد. در این تحقیق نقشه‌های خطر زمین لغزش با اپراتور فازی Sum (شکل ۱۱)، Product (شکل ۱۲) و فازی گاما ( $0/3$ ،  $0/5$ ،  $0/7$ ،  $0/9$  و  $0/975$  به ترتیب (شکل‌های ۱۳ تا ۱۷) ارائه شده است. با توجه به روش ارزیابی (جدول ۲)، نقشه خطر تهیه شده با اپراتور فازی گاما ( $0/975$ ، بیشترین دقت و صحت را در منطقه مورد مطالعه دارد.

حاصله با نقشه پراکنش حرکات توده‌ای مقایسه گردید. نتیجه حاصله از انجام پهنه‌بندی خطر زمین لغزش عموماً به صورت نقشه‌هایی است که رده‌های مختلف خطر در در منطقه نشان می‌دهد و بسته به تعداد رده‌های خطر در منطقه با عباراتی نظیر بی خطر، خطر بسیار کم، خطر کم، خطر متوسط، خطر زیاد و یا بسیار زیاد معرفی می‌گردد. برای مقایسه رده‌های مختلف خطر از تراکم زمین لغزش‌ها یا نسبت تراکمی (Density ratio) در هر یک از رده‌های خطر استفاده می‌شود. تراکم زمین لغزش در نقشه‌های خطری که به طور صحیح تهیه شده‌اند از رده خطر کم تا رده‌های پرخطر به صورت صعودی است. نسبت تراکم با تقسیم نمودن تراکم زمین لغزش در رده خطر خاص به تراکم متوسط زمین لغزش‌ها بر مبنای تراکم سطحی و یا تعداد زمین لغزش محاسبه می‌گردد. مقدار  $Dr$  مساوی یک برای رده خطر خاص بیانگر آن است که تراکم زمین لغزش مساوی تراکم زمین لغزش در کل منطقه است. در صورتی که در منطقه‌ای چند نقشه خطر تهیه شده باشد، با استفاده از مقدار جمع کیفی ( $Q_s$ ) نقشه‌های صحیح تر و با دقت بیشتر را می‌توان شناسایی نمود. یک نقشه خطر خوب، نقشه‌ای است که بهترین جدایش را بین مناطق با تراکم بالای زمین لغزش و مناطق با تراکم پایین زمین لغزش ایجاد نماید.  $Q_s$  بالاتر نمایانگر جدایش بهتر بین رده‌های خطر مختلف است. جمع کیفی ( $Q_s$ ) با رابطه ۵ تعریف می‌گردد (Gee, 1991):

$$Q_s = \sum_{i=1}^n (Dr_i - 1)^2 * S_i \quad \text{رابطه ۵}$$

که در آن  $n$ : تعداد رده‌های خطر و  $S_i$ : مساحت رده خطر به درصد در منطقه است. گرچه از نظر تئوری حد فوقاری خاصی برای  $Q_s$  نمی‌توان در نظر گرفت ولی

**جدول ۱- مقادیر عضویت فازی مربوط به هر یک از عوامل موثر بر وقوع زمین لغزش**

عامل	کلاس	تعداد پیکسل های فاقد لغزش	درصد پیکسل های فاقد لغزش	تعداد پیکسل های لغزشی	درصد پیکسل های لغزشی	FREQUENCY RATIO	مقادیر عضویت فازی
شیب بر حسب درصد	۰-۵	۴۰۲۵۱	۱/۴۳	۰	۰	۰	۰
	۵-۱۵	۱۶۸۴۹۷	۵/۹۹	۲	۳/۶۴	۰/۶۰۸	۰/۳۴
	۱۵-۳۰	۳۴۱۹۴۸	۱۲/۱۶	۱۲	۲۱/۸۲	۱/۷۹۴	۱
	۳۰-۵۰	۶۸۱۰۲۸	۲۴/۲۳	۲۰	۳۶/۳۶	۱/۵۰۱	۰/۸۴
	۵۰-۷۰	۷۴۱۸۱۲	۲۶/۳۹	۱۰	۱۸/۱۸	۰/۶۸۹	۰/۳۸
	>۷۰	۸۳۷۵۳۵	۲۹/۷۹	۱۱	۲۰	۰/۶۷۱	۰/۳۷
جهت شیب	شمال	۷۰۸۹۱	۲/۵۳	۶	۱۰/۹۱	۴/۳۱۲	۱
	شمال شرقی	۴۹۵۱۱۰	۱۷/۶۷	۷	۱۲/۷۳	۰/۷۲۰	۰/۱۷
	شرق	۳۵۴۴۲۶	۱۲/۶۵	۴	۷/۲۷	۰/۵۷۵	۰/۱۳
	جنوب شرقی	۳۸۴۴۶۷	۱۳/۷۳	۱۱	۲۰	۱/۴۵۷	۰/۳۴
	جنوب	۳۷۶۳۹۰	۱۳/۴۴	۷	۱۲/۷۳	۰/۲۱۹	۰/۲۲
	جنوب غربی	۲۹۳۰۱۳	۱۰/۴۶	۹	۱۶/۳۶	۱/۵۶۴	۰/۳۶
	غرب	۲۱۶۳۳۷	۷/۷۲	۷	۱۲/۷۳	۱/۶۴۹	۰/۳۸
	شمال غربی	۳۷۳۲۶۰	۱۳/۳۳	۴	۷/۲۷	۰/۵۴۵	۰
ارتفاع	۱۲۰۰-۱۵۰۰	۶۹۳۹۲	۲/۴۵	۰	۰	۰	۰
	۱۵۰۰-۱۸۰۰	۳۸۷۲۰۲	۱۳/۷۰	۱۹	۳۶/۵۴	۲/۵۲۱	۱
	۱۸۰۰-۲۱۰۰	۷۴۷۹۳۴	۲۶/۴۶	۲۲	۴۰	۱/۵۱۲	۰/۵۶
	۲۱۰۰-۲۴۰۰	۷۵۵۶۱۵	۲۶/۷۳	۷	۱۲/۷۳	۰/۴۷۶	۰/۱۹
	۲۴۰۰-۲۷۰۰	۵۱۶۱۵۸	۱۸/۲۶	۶	۱۰/۹۱	۰/۵۹۷	۰/۲۴
	۲۷۰۰-۳۰۰۰	۳۱۰۱۸۵	۱۰/۹۷	۱	۱/۸۲	۰/۱۶۶	۰/۰۷
	>۳۰۰۰	۴۰۳۰۴	۱/۴۳	۰	۰	۰	۰
	EK <sup>IV</sup>	۳۶۲۶۸۶	۰/۸۴	۲	۳/۶۴	۴/۳۳۳	۱
لیتوژی	J <sub>d</sub>	۹۳۴۵۹	۳/۳۱	۰	۰	۰	۰
	J <sub>I</sub>	۱۷۵۹۷۰	۶/۲۳	۰	۰	۰	۰
	J <sub>S</sub>	۴۷۱۷۸۷	۱۵/۹۹	۱۹	۳۶/۵۵	۲/۱۶۱	۰/۵
	K <sub>2</sub>	۲۱۰۴۹	۰/۷۴	۰	۰	۰	۰
	K <sub>t</sub>	۱۳۹۳۶۳	۴/۹۳	۳	۵/۴۵	۱/۱۰۵	۰/۲۶
	P <sub>d</sub>	۷۲۷۹	۰/۲۶	۰	۰	۰	۰
	PE <sub>f</sub>	۲۴۴۰۹	۰/۸۶	۰	۰	۰	۰
	PE <sub>Z</sub>	۲۴۳۹۲	۰/۸۶	۰	۰	۰	۰

ادامه جدول ۱

عامل	کلاس	تعداد پیکسل های فاقد لغزش	درصد پیکسل های فاقد لغزشی	تعداد پیکسل های لغزشی	درصد پیکسل های لغزشی	FREQUENCY RATIO	مقادیر عضویت فازی
لیتوژری	Q <sup>ag</sup>	۳۱۱۳۱	۱/۱	۰	۰	۰	۰
	Q <sup>b</sup>	۱۶۱۵۱	۰/۵۷	۰	۰	۰	۰
	E <sub>K</sub> <sup>gy</sup>	۷۳۴	۰/۰۳	۰	۰	۰	۰
	Q <sup>SC</sup>	۸۳۸۶۴۵	۲۹/۶۳	۱۵	۲۷/۲۷	۰/۹۲۰	۰/۲۱
	Q <sup>t<sub>1</sub></sup>	۱۸۵۹۶۰	۶/۵۸	۱۳	۲۳/۶۴	۳/۵۹۳	۰/۸۳
	Q <sup>t<sub>2</sub></sup>	۱۱۱۳۵۵	۳/۹۴	۰	۰	۰	۰
	Q <sup>ta</sup>	۳۲۱۲۶۳	۱۱/۳۷	۳	۵/۴۵	۰/۴۷۹	۰/۱۱
	Q <sup>tu</sup>	۱۱۳۸۳	۰/۴	۰	۰	۰	۰
	TR <sub>cl</sub>	۸۴۳۹	۰/۳	۰	۰	۰	۰
کاربری اراضی	مرتع خوب	۶۱۷۴۸۲	۲۱/۹۱	۱۰	۱۸/۱۸	۰/۸۳۰	۰/۰۳
	مرتع متوسط	۱۸۱۲۸۱۰	۶۴/۳۲	۲۴	۴۳/۶۲	۰/۶۷۸	۰
	مخلوط باغ و کشاورزی	۳۷۹۷۷۷	۱۳/۴۷	۱۶	۲۹/۱	۲/۱۶۰	۰/۰۷
	مسکونی	۸۳۳۷	۰/۳	۵	۹/۱	۳۰/۳۳۳	۱
بافر از گسل	۰-۱۰۰	۱۱۱۳۹۰	۳/۹۴	۴	۷/۲۷	۱/۸۴۵	۰/۷۷
	۱۰۰-۲۰۰	۱۰۶۸۶۰	۳/۷۸	۴	۷/۲۷	۱/۹۲۳	۰/۸۰
	۲۰۰-۳۰۰	۱۰۷۰۰۴	۳/۷۹	۵	۹/۱	۲/۴	۱
	۳۰۰-۴۰۰	۱۰۸۹۳۱	۳/۸۵	۲	۳/۶۴	۰/۹۴۵	۰/۳۹
	>۴۰۰	۲۳۹۲۶۰۵	۸۴/۶۴	۴۰	۷۲/۷۲	۰/۸۶۰	۰
بافر از آبراهه	۰-۱۰۰	۶۶۸۷۸۶	۲۳/۶۶	۳۳	۶۰	۲/۵۳۶	۱
	۱۰۰-۲۰۰	۴۹۸۵۶۶	۱۷/۶۴	۵	۹/۱	۰/۵۱۶	۰/۲۰
	۲۰۰-۳۰۰	۳۹۲۹۹۲	۱۳/۹۰	۸	۱۴/۵۳	۱/۰۴۵	۰/۴۱
	۳۰۰-۴۰۰	۳۲۱۹۹۰	۱۱/۳۹	۲	۳/۶۴	۰/۳۱۹	۰
	>۴۰۰	۹۴۴۴۵۶	۳۳/۴۱	۷	۱۲/۷۳	۰/۳۸۱	۰/۱۵
بافر از جاده	۰-۱۰۰	۳۳۴۷۰۳	۱۱/۸۴	۲۴	۴۳/۶۴	۳/۶۸۶	۱
	۱۰۰-۲۰۰	۲۷۰۱۷۸	۹/۵۶	۳	۵/۴۵	۰/۵۷۰	۰/۱۶
	۲۰۰-۳۰۰	۲۲۲۲۰۰	۸/۲۱	۴	۷/۲۷	۰/۸۸۵	۰/۲۴
	۳۰۰-۴۰۰	۲۰۶۷۶۰	۷/۳۱	۴	۷/۲۷	۰/۹۹۴	۰/۲۷
	۴۰۰-۵۰۰	۱۸۷۶۴۲	۶/۶۴	۳	۵/۴۵	۰/۸۲۱	۰/۲۲
	>۵۰۰	۱۵۹۵۳۰۷	۵۶/۴۴	۱۷	۳۰/۹۲	۰/۵۴۸	۰

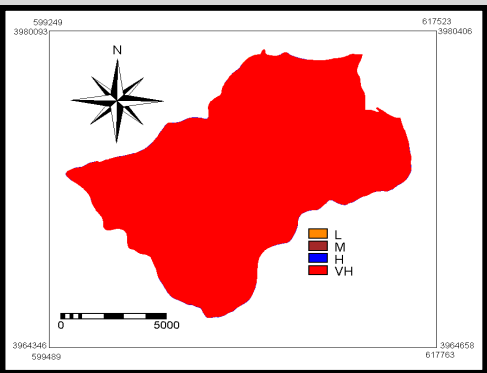
### ادامه جدول ۱

عامل	کلاس	تعداد پیکسل‌های فاقد لغزش	درصد پیکسل‌های فاقد لغزش	تعداد پیکسل‌های لغزشی	درصد پیکسل‌های لغزشی	FREQUENCY RATIO	مقادیر عضویت فازی
بارش	۳۰۰-۴۰۰	۵۸۲۹۹۳	۲۰/۶۲	۲۶	۴۷/۲۷	۲/۲۹۲	۱
	۴۰۰-۵۰۰	۱۶۲۳۷۲۱	۵۷/۴۴	۲۴	۴۳/۶۳	۰/۷۵۹	۰/۳۳
	>۵۰۰	۶۲۰۰۷۶	۲۱/۹۴	۵	۹/۱	۰/۴۱۵	۰

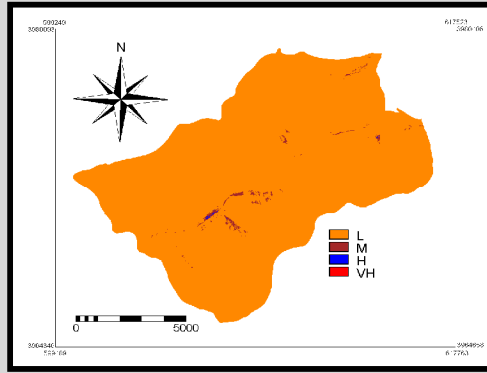
EK<sup>۱۰</sup>: توف سبز، جریان‌های گدازه و گدازه‌های برشی شده آندزیتی- بازالتی، J<sub>d</sub>: سنگ آهک تخمی- تخریبی با لایه‌بندی خوب، سنگ آهک مارنی، J<sub>s</sub>: سنگ آهک چرت دار تودهای تا لایه‌ای، J<sub>l</sub>: شیل و ماسه سنگ تیره رنگ همراه با آثار گیاهی زغال‌سنگ و سازند شمشک، K<sub>2</sub>: سنگ آهک بیوژنیک و چرتی، K<sub>b</sub>: سنگ آهک اوربیتولین دار (سازند تیزکوه)، P<sub>d</sub>: ماسه سنگ کوارتزیتی با لایه‌بندی متقطع (سازند دورود)، PE<sub>f</sub>: کنگلومرا، آگلومرا، کمی مارن و سنگ آهک (سازند فجن)، PE<sub>Z</sub>: سنگ آهک نومولیت و آلوئومین دار، کنگلومرا (سازند زیارت)، Q<sup>ag</sup>: آگلومرا، Q<sup>b</sup>: اولیوین بازالت (قبل از دماوند)، EK<sup>g/y</sup>: سنگ گچ، Q<sup>sc</sup>: واریزه، Q<sup>i</sup>: پادگانه‌های آبرفتی قدیمی، Q<sup>j</sup>: پادگانه‌های آبرفتی جدید، Q<sup>la</sup>: جریان‌های گدازه تراکی- آندزیتی، Q<sup>lu</sup>: خاکستر توف، لاپلی تواف، TR<sub>el</sub>: سنگ آهک نازک لایه.

### جدول ۲- مقدار QS اپراتورهای مختلف فازی به منظور ارزیابی بهترین نقشه خطر لغزش

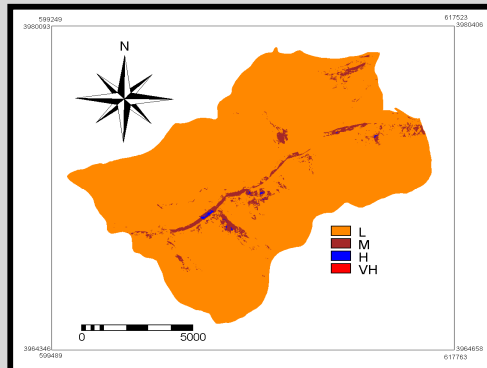
ردیف	روش پهنه‌بندی خطر زمین‌لغزش	QS
۱	اپراتور Sum	۰/۰۰۲۶
۲	اپراتور Product	۱/۰۴۰۸
۳	اپراتور Gamma (۰/۰۲۵)	۱/۹۱۵
۴	اپراتور Gamma (۰/۰۵)	۰/۸۹۱
۵	اپراتور Gamma (۰/۱)	۱/۴۶۵
۶	اپراتور Gamma (۰/۲)	۱/۸۵۲
۷	اپراتور Gamma (۰/۳)	۱/۲۲۴
۸	اپراتور Gamma (۰/۴)	۱/۵۰۸
۹	اپراتور Gamma (۰/۵)	۱/۳۱۹
۱۰	اپراتور Gamma (۰/۶)	۱/۵۸۰
۱۱	اپراتور Gamma (۰/۷)	۲/۰۳۳
۱۲	اپراتور Gamma (۰/۸)	۱/۷۹۷
۱۳	اپراتور Gamma (۰/۹)	۲/۰۷۹
۱۴	اپراتور Gamma (۰/۹۵)	۱/۱۸۹
۱۵	اپراتور Gamma (۰/۹۷۵)	۲/۱۴۹



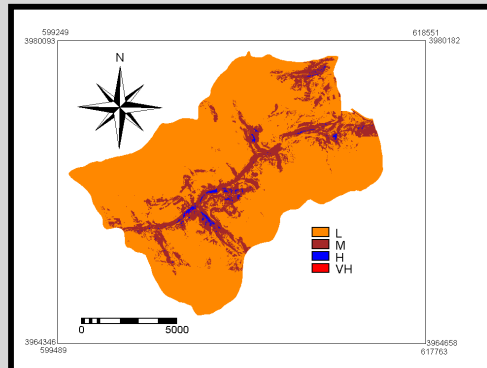
شکل ۱۲- نقشه خطر لغزش با اپراتور Sum



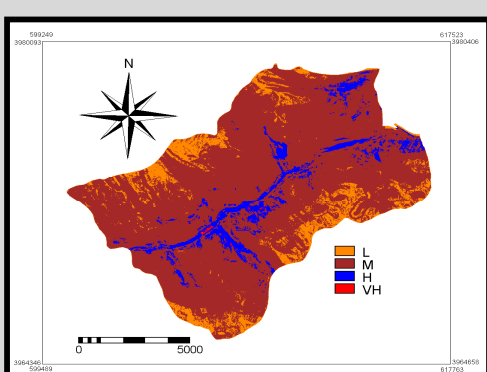
شکل ۱۱- نقشه خطر لغزش با اپراتور Product



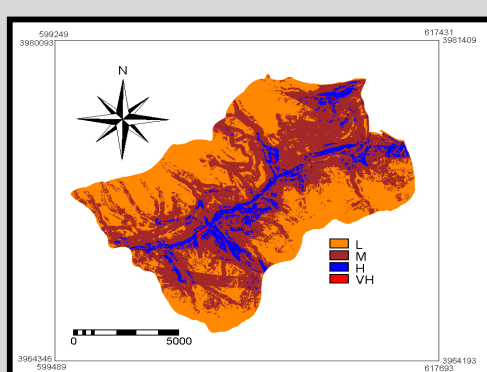
شکل ۱۴- نقشه خطر لغزش با اپراتور گاما<sup>۰.۳</sup>



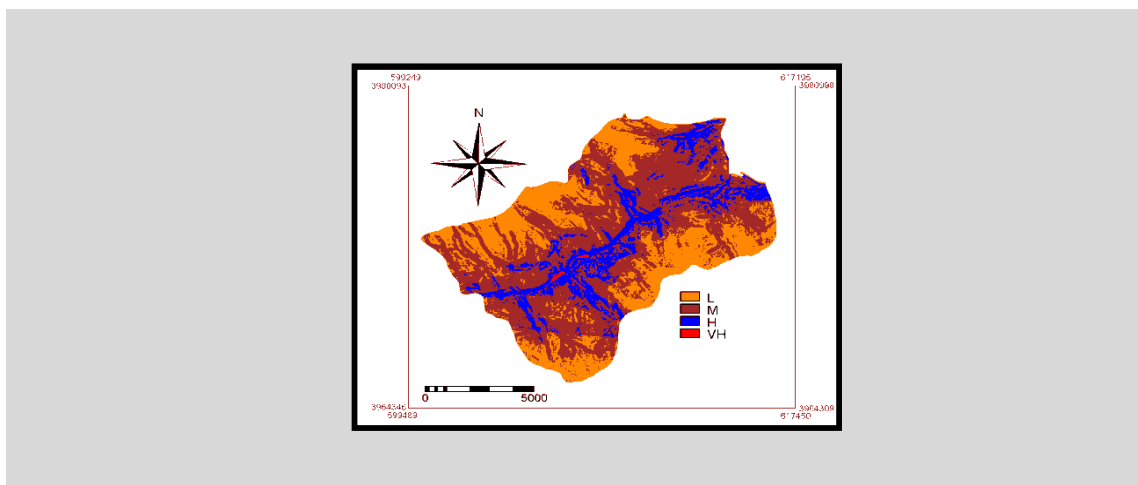
شکل ۱۳- نقشه خطر لغزش با اپراتور گاما<sup>۰.۵</sup>



شکل ۱۶- نقشه خطر لغزش با اپراتور گاما<sup>۰.۷</sup>



شکل ۱۵- نقشه خطر لغزش با اپراتور گاما<sup>۰.۹</sup>



شکل ۱۷- نقشه خطر لغزش با اپراتور گامای ۰/۹۷۵

## بحث

نقش نموده‌اند زیرا عامل جهت می‌تواند تحت تاثیر فیزیوگرافی منطقه نیز قرار گیرد (Ercanoglu and Gokceoglu, 2002). بررسی طبقات ارتفاعی نشان داده که کلاس ارتفاعی ۱۸۰۰-۱۵۰۰ (۵۴/۳۴٪) و ۲۱۰۰-۱۸۰۰ (۴۰٪) بیشترین درصد لغزش‌ها را به خود اختصاص داده که دارای بیشترین وزن بوده و با افزایش ارتفاع میزان حساسیت به خطر زمین لغزش کم گردیده است، اگرچه بیشتر شود، حساسیت به خطر زمین لغزش در منطقه بیشتر می‌شود اما چنان‌چه در ارتفاعات بالا فراوانی وقوع لغزش کمتر گردد نشان‌دهنده آن است که در منطقه عوامل دیگری همچون لیتولوژی بسیار مقاوم به لغزش منطقه می‌باشد. بررسی لیتولوژی حوزه نشان داده که بیشترین لغزش در سازندهای EK<sup>IV</sup>, Q<sup>I</sup> و JL رخداده که به ترتیب از توف سبز، جریان گدازه، پادگانه‌های آبرفتی، شیل، ماسه سنگ‌تیره همراه با آثار گیاهی ذغال‌سنگ تشکیل شده که بسیار حساس به حرکات توده‌ای می‌باشند که با نظرات Shadfar et al., (2005) مطابقت دارد. بررسی کاربری اراضی نشان می‌دهد که بیشتر لغزش‌های منطقه در کاربری مسکونی و مخلوط باغ-کشاورزی اتفاق افتاده که دلیل آن را می‌توان به نقش موثر انسان در

نتایج بررسی کلاس‌های شبیه نشان می‌دهد که بیشتر لغزش‌های منطقه در کلاس شبیه ۳۰-۱۵ درصد اتفاق افتاده است که با نظرات Fatemi Aghda et al., 2005 و Mohammadi et al., 2007؛ Ahmadi et al., 2005 (Ercanoglu and Gokceoglu, 2004) مطابقت دارد. البته شایان ذکر است که کلاس شبیه ۳۰-۵۰٪ در درجه دوم Schernthanner, 2005 اهمیت قرار دارد که با نظرات Lee, 2007؛ مطابقت دارد. نتایج بررسی جهت شبیه نشان می‌دهد که بیشتر لغزش‌های اتفاق افتاده در جهت‌های شمال و غرب می‌باشد. دلیل این امر را می‌توان به تاثیر رطوبت به عنوان یکی از عوامل موثر بر وقوع حرکات توده‌ای نسبت داد، زیرا حوضه آبریز کرانه دریای خزر تحت تاثیر دو سیستم باران‌زای غربی و شمال تا شمال غربی بوده که رطوبت زیادی را برای منطقه به ارمغان می‌آورد. این نتایج با نظرات Ahmadi et al., 2005 و Mohammadi et al., 2007 (Mohammadi et al., 2007) مطابقت دارد. اگرچه فراوانی لغزش در جهت جنوب‌شرقی بیشتر از سایر جهات می‌باشد. در توضیح این مطلب قابل ذکر است که عامل جهت یک عامل غالب برای وقوع زمین‌لغزش محسوب نمی‌گردد. احتمالاً در این مناطق فاکتورهای دیگری به عنوان عامل غالب در وقوع زمین‌لغزش ایفای

## منابع

- Ahmadi, H., S.H. Mohammadkhan, S. Feiznia and J. Ghoddousi (2005). A modeling of mass movement hazard, case study:Taleghan drainage catchment. Iranian Journal Natural Resource, 58 (1): 3-14.
- An, P., Moon, W.M. and Renez, A. (1991). Application of fuzzy set theory to integrated mineral exploration. Canadian Journal of Exploration Geophysics, 27 (1): 1-11.
- Ashghali Farahani, A. (2002). Natural slopes instability hazard assessment in Rudbar area by using fuzzy logic, M.Sc thesis, Factuly of science geology, Tarbiat Moallem University.
- Binaghi, E., L. Luzi, P. Madella, F. Pergalani and A. Rampini (1998). Slope instability zonation: a comparison between certainty factor and fuzzy dempster-shafer approaches. Natural Hazards, 17: 77-97.
- Bonham-Carter, G.F. (1994). Geographic information systems for geoscientists: modeling with GIS. New York: Pergamon.
- Champati ray, P.K., S. Dimri, R.C. Lakhhera and S. Sati (2007). Fuzzy-based method for landslide hazard assessment in active seismic zone of Himalaya, Landslides, 4: 101-111.
- Chi, K.H., N.W. Park and C.J. Chung (2002). Fuzzy logic integration for landslide hazard mapping using spatial data from Boeun, Korea. Symposium Geospatial Theory, Processing and Applications, Ottawa:
- Ercanoglu, M. and C. Gokceoglu (2002). Assessment of landslide susceptibility for a landslide-prone area (north of Yenice, NW Turkey) by fuzzy approach. Environ Geol, 41: 720-730.
- Ercanoglu, M. and C. Gokceoglu (2004). Use of fuzzy akosistem hâri طبیعی و تخریب‌هایی که بواسطه تغیرات کاربری اراضی از جمله ساخت و ساز در منطقه بوجود آمده نسبت داد که با نظرات (Ahmadi et al., 2005; Fatemi Aghda et al., 2005; Shadfar et al., 2005; Ercanoglu and Gokceoglu, 2004) مطابقت دارد. بررسی نتایج فاصله از گسل نشان می‌دهد که بیشتر لغزش‌های اتفاق افتاده در فاصله ۳۰۰-۲۰۰ متری از گسل مشاهده شده است. علیرغم اینکه ۷۲/۷۲٪ لغزش‌های منطقه در فواصل بیشتر از ۴۰۰ متری مشاهده شده‌اند اما کمترین وزن ( $Fr=0.860$ ) را به خود اختصاص داده‌اند. بررسی عامل فاصله از شبکه آبراهه و فاصله از جاده نشان داد که به ترتیب ۶۰٪ و ۶۴/۴۳٪ لغزش‌های اتفاق افتاده منطقه در فاصله ۱۰۰ متری مشاهده شده است که بیشترین فراوانی را از نظر لغزش به خود اختصاص داده‌اند که با نظرات محققین زیادی (Shadfar et al., 2005; Shadfar et al., 2005; Lee, 2007; Fatemi Aghda et al., 2005) مبنی بر افزایش وقوع زمین‌لغزش با نزدیکی فاصله به آبراهه و جاده مطابقت دارد. نتایج بررسی عامل بارش نیز نشان داده که بیشتر لغزش‌ها در مناطق اتفاق افتاده که حدود ۴۰۰-۳۰۰ میلی‌متر بارندگی داشته‌اند و نکته قابل تأمل آن است که هر چه قدر میزان بارندگی در منطقه بیشتر می‌شود به همان اندازه میزان لغزش کمتر می‌گردد که این موضوع شاید به دلیل تاثیر دیگر عوامل مهم بر وقوع خطر زمین‌لغزش در منطقه مورد مطالعه باشد که به نحوی تاثیر بارش را پوشش داده‌اند. نقشه‌های خطر تهیه شده با اپراتور فازی گاما (۰/۰۲۵ تا ۰/۰۹۷۵) پهنه‌بندی خطر زمین‌لغزش را در منطقه مورد مطالعه نشان می‌دهد. با توجه به روش ارزیابی (جدول ۲)، نقشه خطر تهیه شده با اپراتور فازی گاما (۰/۰۹۷۵، بیشترین دقت و صحت را در منطقه مورد مطالعه داشته است که با نظرات (Lee, 2007; Schernthanner, 2005; Tangestani, 2003) مطابقت دارد.

- Pachauri, A.K. and M. Pant (1992). Landslide hazard mapping based on geological attributes. Eng. Geol, 32: 81-100.
- Pistocchi, A., L. Luzi and P. Napolitano (2002). The use of predictive modeling techniques for optimal exploitation of spatial databases: a case study in landslide hazard mapping with expert system-like methods. Environ Geol, 41: 765–775.
- Remendo, J., A. Gonzales, J. Teran, A. Cendrero, A. Fabbri and C. Chung (2003). Validation of landslide susceptibility maps, examples and applications from a case study in northern Spain. Natural Hazard, 437-449.
- Schernthanner, H. (2005). Fuzzy logic approach for landslide susceptibility mapping (Rio Blanco, Nicaragua). M.Sc Thesis, Institute of Geography, NAWI, Paris Lodron University Salzburg.
- Shadfar, S., M. Yamani and M. Namaki (2005). Landslide hazard zonation using information value, surface density and LNRE models in Chalakroud watershed. Journal Water and Watershed, (3): 62-68.
- Tangestani, M.H. (2003). Landslide susceptibility mapping using fuzzy gamma operation in GIS, Kakan catchment's area, Iran. Proceedings of the Map India 2003 Conference, copyright GIS Development.
- Zhu, A.X., R.X. Wang, J.P. Qiao, Y.B. Chen, Q.G. Cai and C.H. Zhou (2004). Mapping landslide susceptibility in the three gorges area, China using GIS, expert knowledge and fuzzy logic. GIS and Remote Sensing in Hydrology, Water Resources and Environment (Proceedings of ICGRHWE held at the Three Gorges Dam, China, and September 2003).
- Fatemi Aghda, S.M., J. Ghayoumian, M. Teshnehlab and A. Ashghali Farahani (2005). Assessment of landslide hazard by using fuzzy logic (case study Rudbar area). Journal science, University Tehran, 11: 43-64.
- Gee, M.D. (1991). Classification of landslide hazard zonation methods and a test of predictive capability, Landslides, Bell (ed.), 1991 Balkema, Rotterdam.
- Gorsevski, P.V., P. Jankowski and P.E. Gessler (2006). Heuristic approach for mapping landslide hazard integrating fuzzy logic with analytic hierarchy process. Control and Cybernetics, 35: 1-26
- Komac, M.A. (2006). Landslide susceptibility model using the Analytical Hierarchy Process method and multivariate statistics in per alpine Sloveni. Geomorphology, 74: 17-28.
- Lee, S. (2007). Application and verification of fuzzy algebraic operators to landslide susceptibility mapping. Environmental Geology, 50: 847-855.
- Mahdavifar, M.R. (1996). Landslide hazard zonation in Khoreshrostam region (south west of Khalkhal country), M.Sc thesis, Tarbiat Modares University.
- Mahdavifar, M.R. and S.M. Fatemi Aghda (2002). Application fuzzy sets analysis in landslide hazard zonation and description provided computer system, Proceeding 2<sup>st</sup> landslide and its increase disasters, International Institute of Earthquake Engineering and Seismology (IIIES), 137-145.
- Mohammadi, M., H.R. Moradi, H.R. Pourghasemi and M. Davodi (2007). Investigation of natural slopes instability and it application to landuse planning using GIS, The first national meeting landuse planning, Hamedan University Azad, 91-92.

